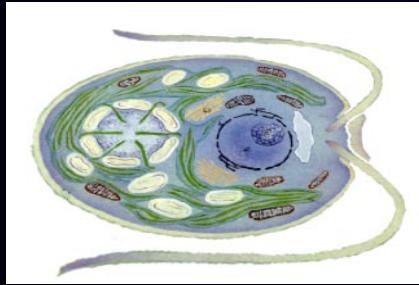
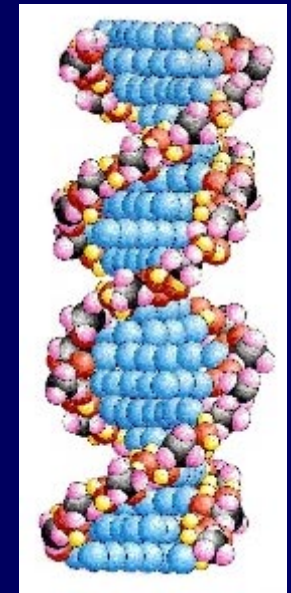


Analýza reparačno - deficitných mutantov *Chlamydomonas reinhardtii*



Andrea Ševčovičová



Obsah

Odpoveď bunky na poškodenie DNA-prehľad mechanizmov

- Priama oprava DNA poškodenia
- Excízia DNA poškodenia
- Tolerovanie poškodenia DNA

Výsledky práce

- Analýza reparačne-deficitných mutantov *Chlamydomonas reinhardtii*
- Prepojenie opravy DNA s inými procesmi v bunke
- Transformácia jadrového genómu *Chlamydomonas reinhardtii*

*Výsledky boli dosiahnuté v spolupráci s:
Vlček, Podstavková, Miadoková, Slaninová, Nagyová,*

Odpoved' bunky na poškodenie DNA

Priama oprava DNA poškodenia

- Enzymatická fotoreaktivácia
- Oprava spórových fotoproduktov
- Oprava alkylovaných báz a alkylfosfotriesterov pomocou alkyltransferázy
- Ligácia zlomov reťazcov DNA

Excízia DNA poškodenia

- Bázová excízna oprava
- Nukleotidová excízna oprava
- Oprava chybne spárovaných báz

Tolerovanie poškodenia DNA

- Obídenie poškodeného úseku DNA s vytvorením medzery a rekombinácia
- Translézna syntéza DNA

Priama oprava DNA poškodenia

1. Native DNA



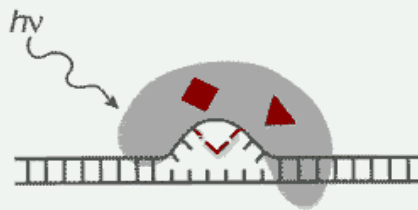
2. Pyrimidine dimer in UV DNA



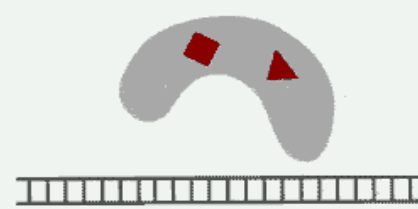
3. Complex of DNA with photoreactivating enzyme



4. Absorption of light (>300nm)



5. Release of enzyme to restore native DNA



Fotoreaktivácia

Fotoreaktivácia je jednokrokovým opravným procesom, pri ktorom enzym fotolyáza katalyzuje na svetle závislú opravu pyrimidínových dimérov

Priama oprava DNA poškodenia

Oprava alkylovaných báz a alkylfosfotriesterov pomocou alkyltransferázy

Alkylované bázy a alkylfosfotriestery môžu byť v jednom kroku opravené alkyltransferázami preniesením alkyl skupiny na cysteinové zvyšky vlastnej molekuly. Naviazaním alkyl skupiny na molekulu enzýmu dochádza k jeho inaktivácii.

Oprava spórových fotoproduktov

Pri *B. subtilis* sú 5-tyminyl-5-6-dihydrotymíny opravované lyázou.

Priama oprava DNA poškodenia

Ligácia zlomov

Zlomy vzniknuté hydrolýzou fosfodiesterových väzieb dvojretiazcovej DNA po pôsobení rôznych agensov zabezpečujú DNA ligázy.

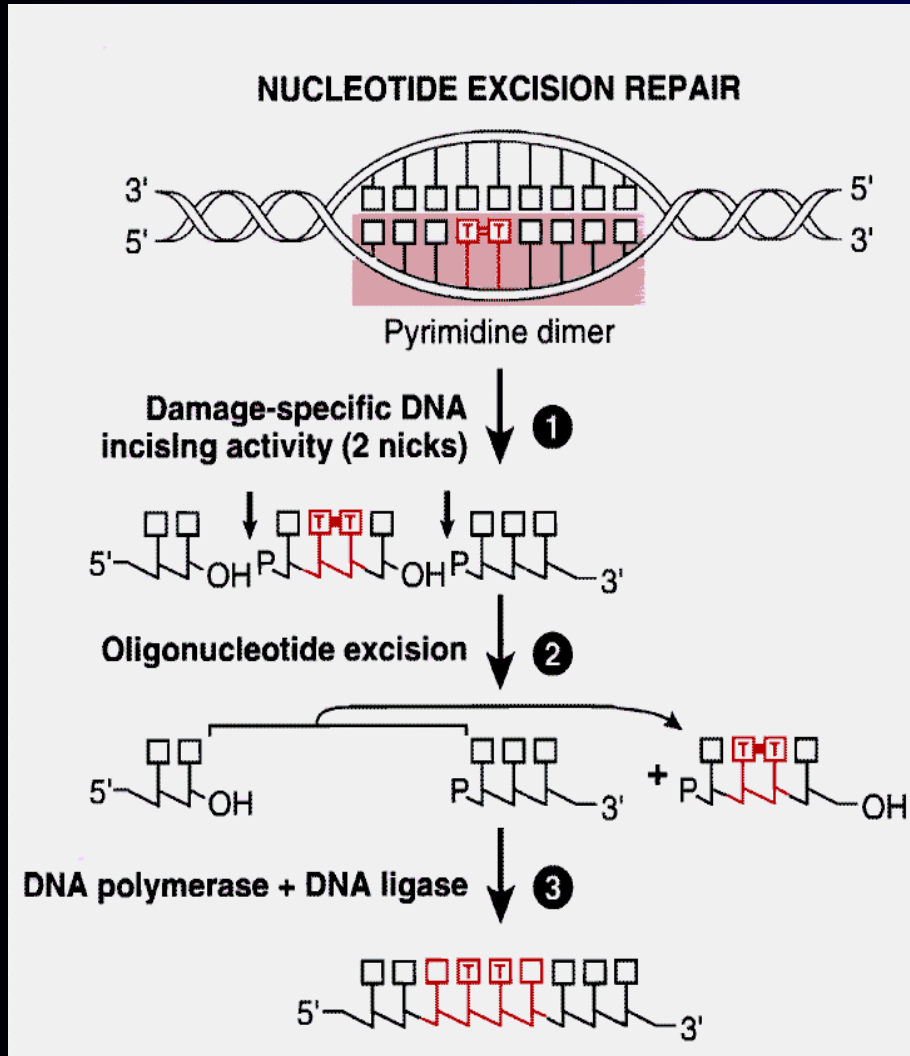
Podmienka: prítomnosť priľahlých 3' OH a 5' P koncov

Excízia DNA poškodenia

- najrozšírenejší a doposiaľ najlepšie preštudovaný mechanizmus opravy DNA poškodení
- je schopná opravovať najširšie spektrum poškodení, ktoré boli vyvolané UV žiarením a niektorými chemickými agensami
- oprava monoaduktov (**bázová excízna oprava - BER**)
- oprava rozsiahlejších poškodení (**nukleotidová excízna oprava - NER**)
- oprava chybne spárovaných báz vzniknutých počas replikácie DNA (**„mismatch“ oprava**)

Excízia DNA poškodenia

Nukleotidová excízna oprava



5 krokov:

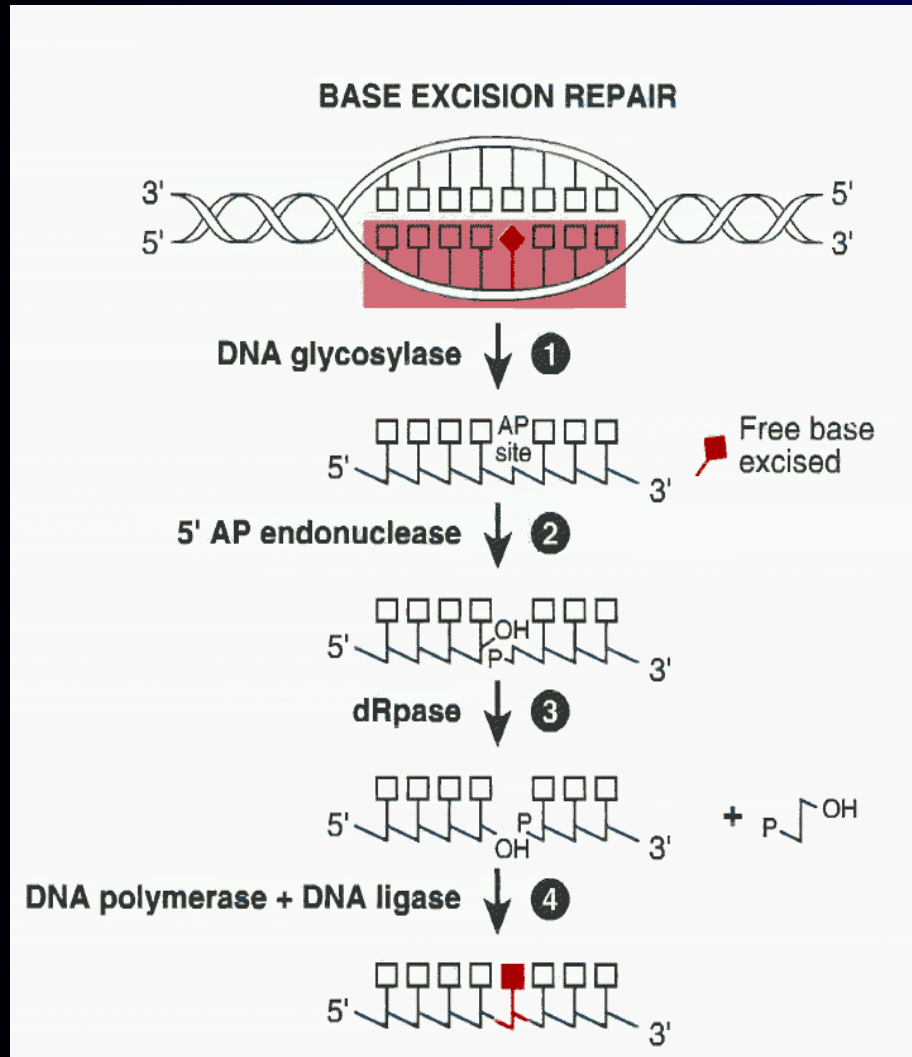
- 1. rozpoznanie poškodenia**
- 2. incízia**
- 3. vyštiepenie poškodenia**
- 4. reparačná syntéza**
- 5. ligácia**

2 dráhy:

globálna genómová oprava
a preferenčná oprava
transkribovaných reťazcov

Excízia DNA poškodenia

Bázová excízna oprava

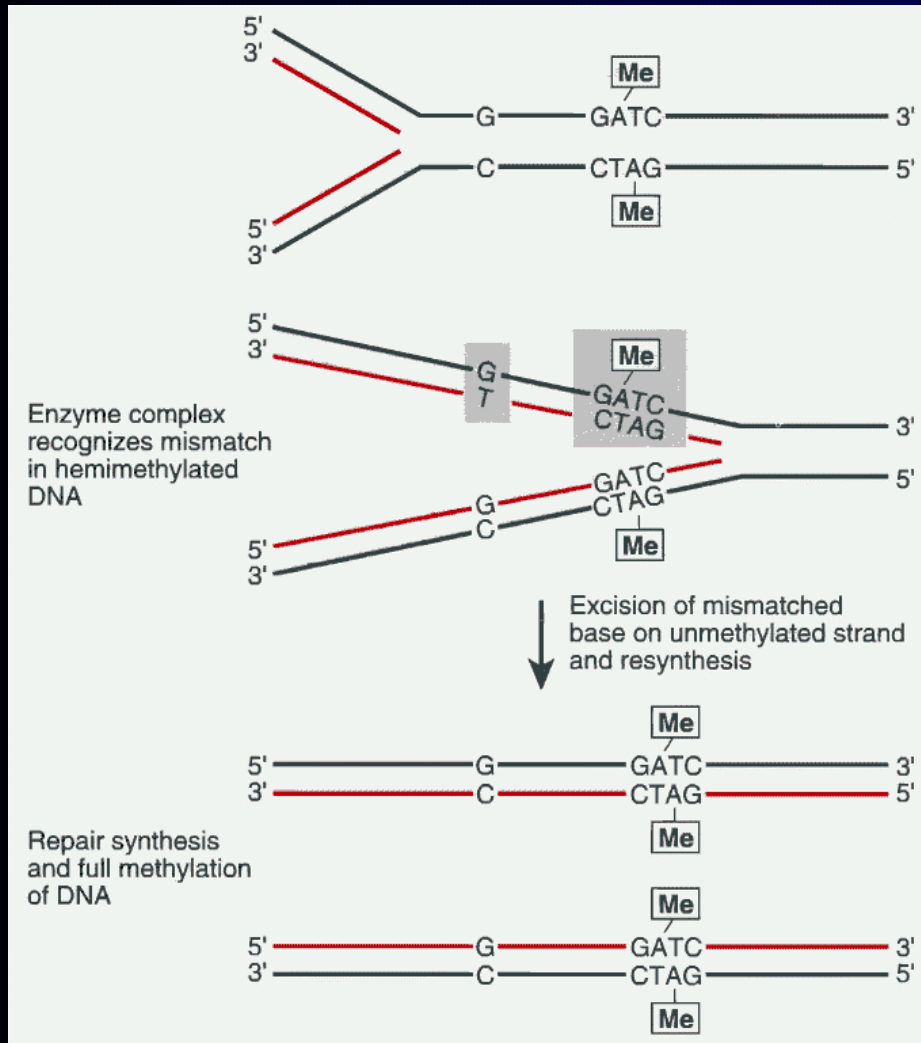


Typy poškodení:

**modifikované bázy,
apurínové a
apyrimidínové miesta a
jednoret'azcové zlomy**

Excízia DNA poškodenia

“Mismatch” oprava



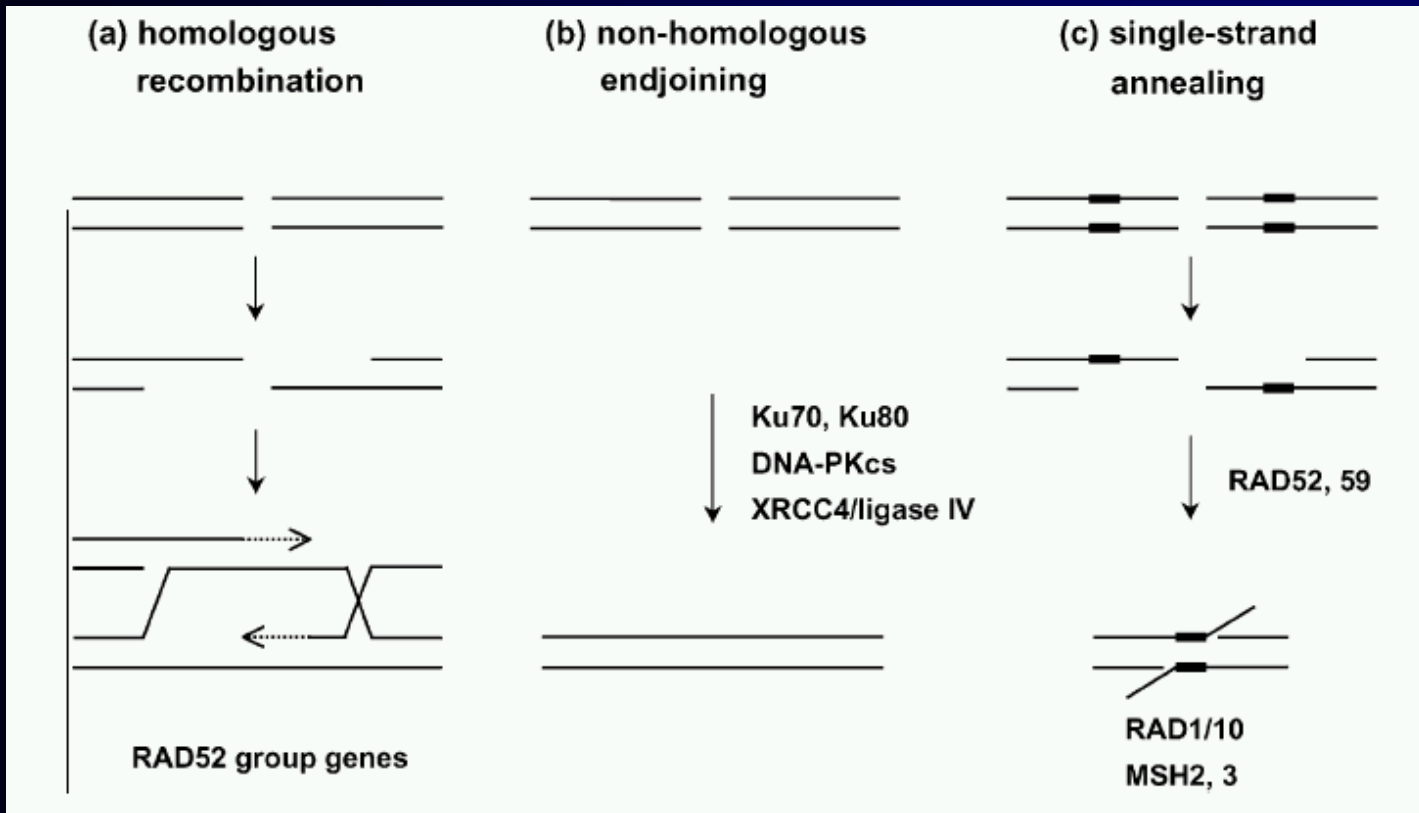
Rozpoznanie
novosyntetizovaného
ret'azca:

metylácia materského
ret'azca v GATC
sekvenciách

Tolerovanie poškodenia DNA

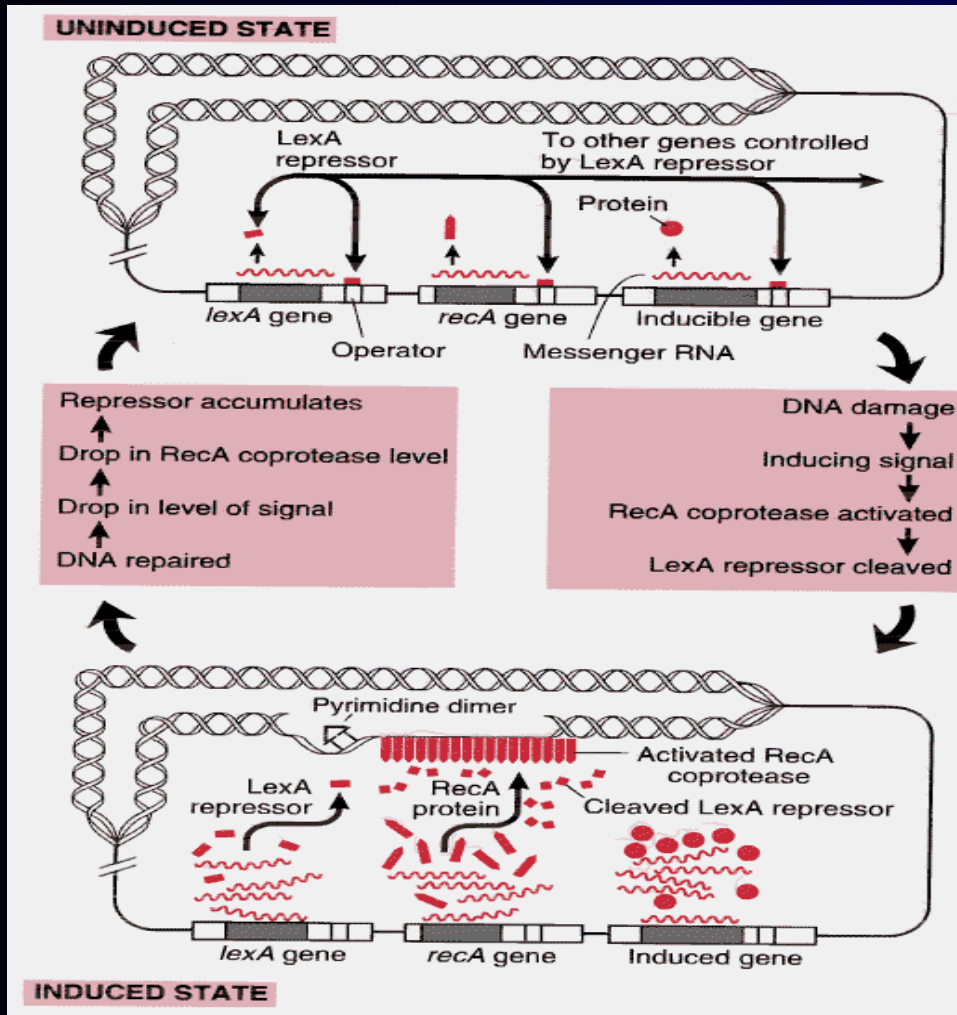
Mechanizmy, pri ktorých samotné poškodenie zostáva neopravené, ale bunka je vďaka nim schopná dokončiť replikáciu a poškodenie DNA môže byť následne opravené excíznou opravou.

Rekombinačná oprava



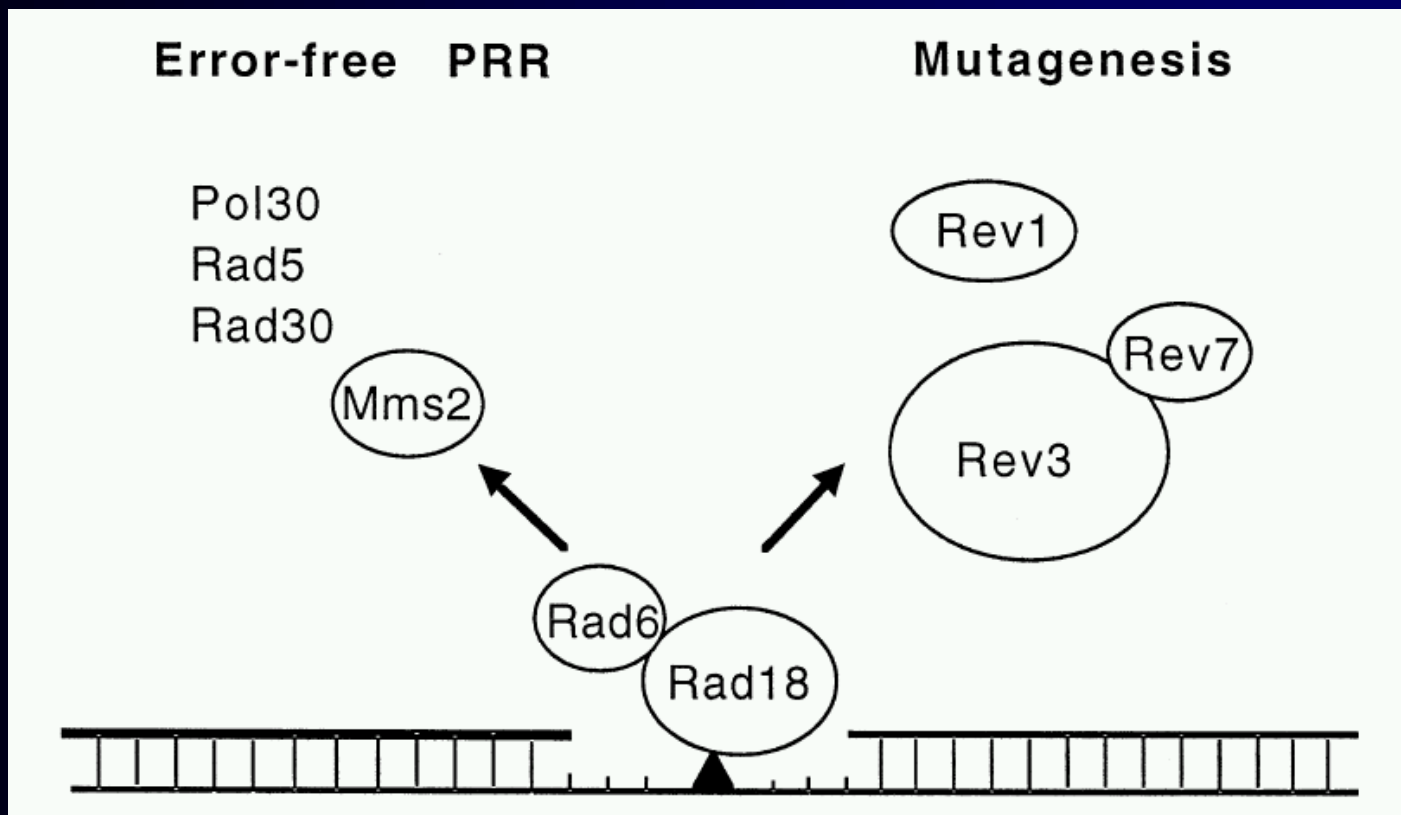
Schématické znázornenie mechanizmov zúčastňujúcich sa opravy dvojretiazcových zlomov pri eukaryotoch.

Translézna syntéza DNA



SOS systém pri *E. coli*, riadený génmi *recA* a *lexA*, ktorý je spojený so zvýšenou frekvenciou mutácií a je známy aj ako mutagénna alebo error-prone oprava

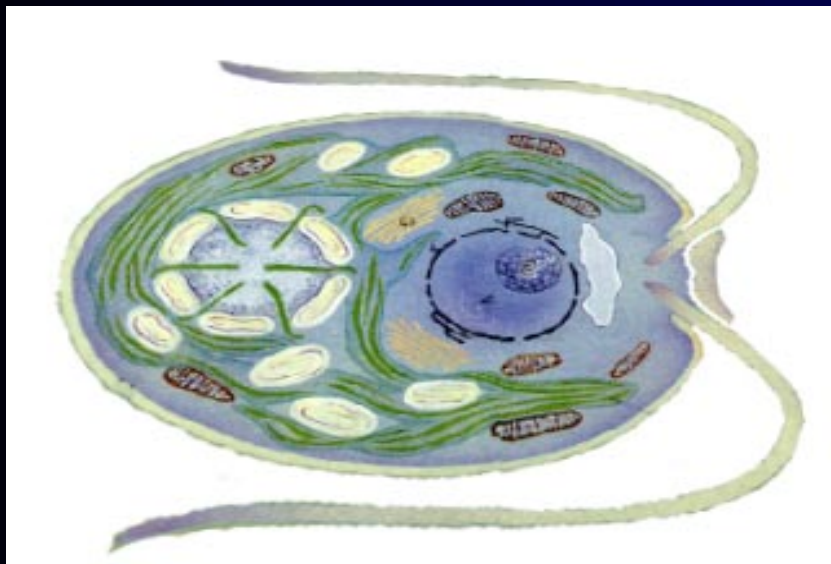
Translézna syntéza DNA



Predpokladaný model dvoch alternatívnych
subdráh *RAD6* reparačnej dráhy pri *S. cerevisiae*

Reparačné mechanizmy

C. reinhardtii



Na základe citlivosti k UV žiareniu- **uvs mutanty**, predbežne zaradené do dvoch skupín:

1. excízne
2. neexcízne

Reparačné mechanizmy

C. reinhardtii

fotoreaktivácia: *phr1, phr2*

excízna oprava: *uvs1, uvs6, uvs9, uvs12, uvs15*

mismatch oprava: *uvs14* ?

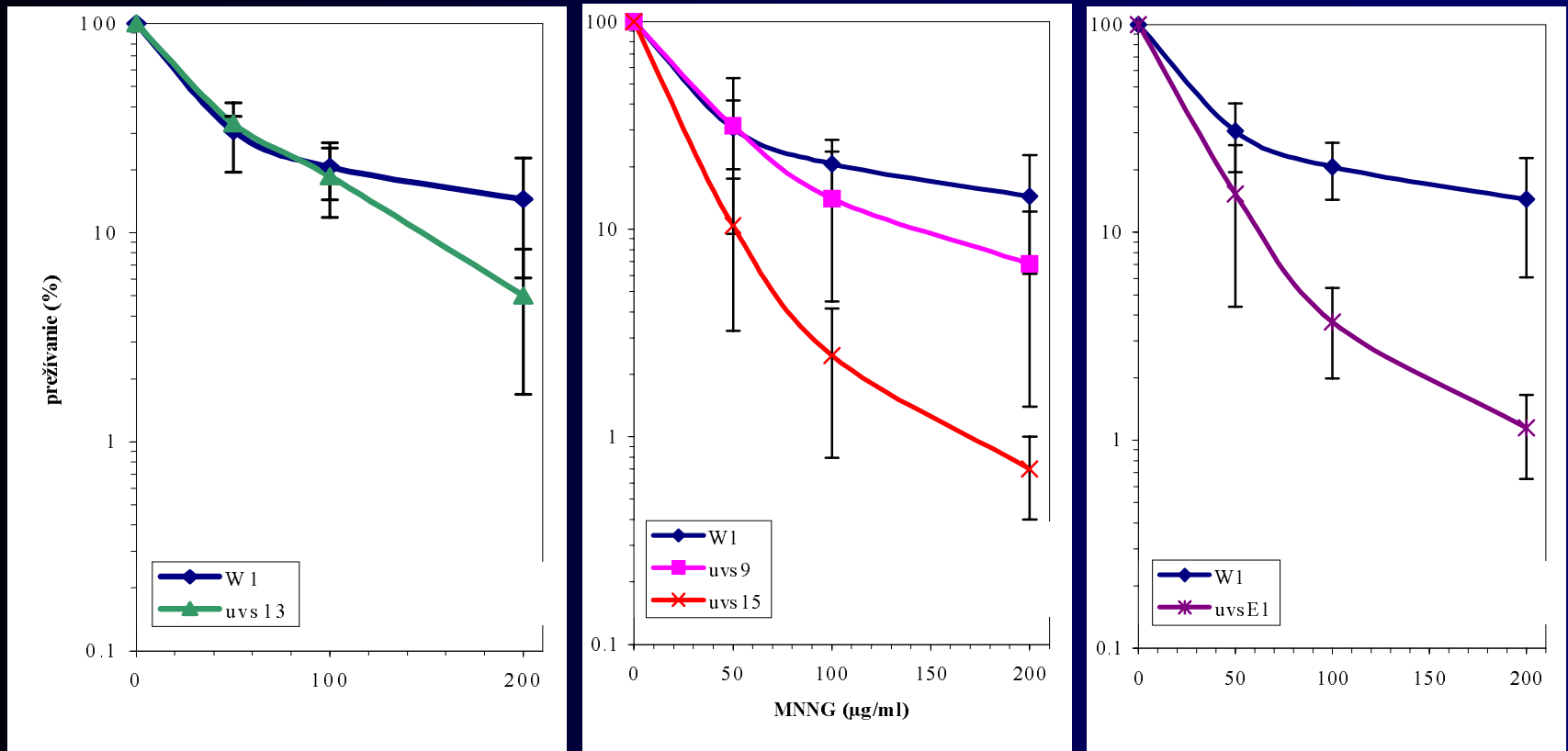
rekombinačná oprava: *uvSE1, uvsE5, uvsE6, uvs10*

neurčená reparačná dráha: *uv8, uvs11, uvs13*

Ciele práce

molekulárna, mutačná a genetická analýza
reparačne-deficitných mutantov *C. reinhardtii*
izolovaných na Katedre genetiky PriF UK

Analýza reparačne-deficitných mutantov *Chlamydomonas reinhardtii*



**Prežívanie štandardného a reparačne-deficitných kmeňov
C. reinhardtii po pôsobení MNNG**

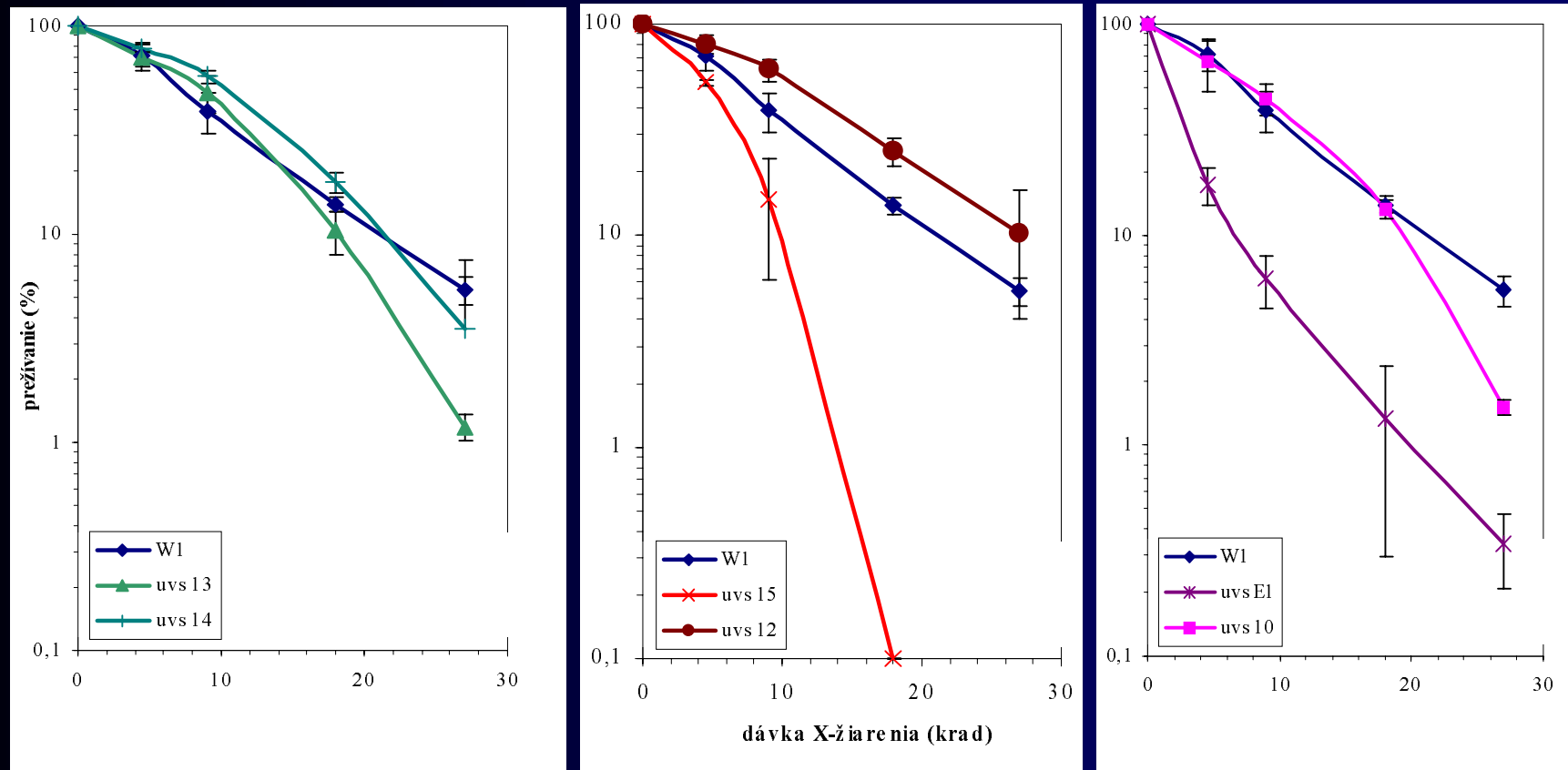
Analýza reparačne-deficitných mutantov *Chlamydomonas reinhardtii*

Mutabilita štandardného a reparačne-deficitných kmeňov *C. reinhardtii* po pôsobení MNNG

| Dávka | <i>W1</i> | <i>uvr9</i> | <i>uvrE1</i> | <i>uvr13</i> | <i>uvr15</i> |
|------------|-----------|-------------|--------------|--------------|--------------|
| K | 0,385 | 0 | 2,03 | 4,24 | 0 |
| 50 | 18,6 | 4,98 | 6,84 | 11,5 | 2,85 |
| 100 | 24,66 | 3,64 | 23,92 | 32,73 | 17,21 |
| 200 | 42,6 | 28,32 | 58,7 | 60,76 | 3,3 |

* dávka sa udáva v ($\mu\text{g}/\text{ml}$)

Analýza reparačne-deficitných mutantov *Chlamydomonas reinhardtii*



**Prežívanie štandardného a reparačne-deficitných kmeňov
C. reinhardtii po pôsobení X-žiarenia**

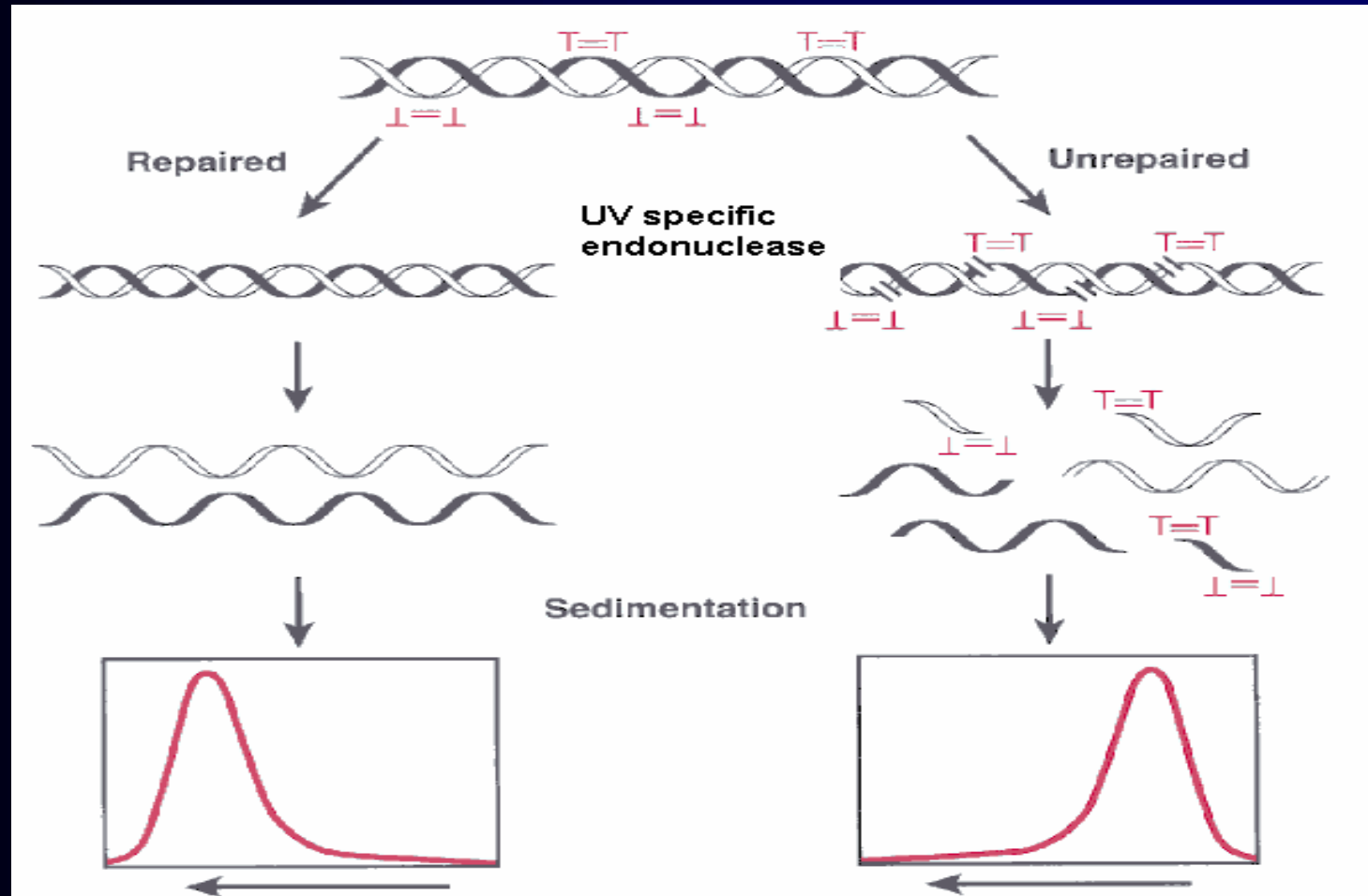
Analýza reparačne-deficitných mutantov *Chlamydomonas reinhardtii*

Mutabilita štandardného a reparačne-deficitných kmeňov *C. reinhardtii* po pôsobení X-žiarenia

| <i>Dávka W1</i> | <i>uvsE1</i> | <i>uvs10</i> | <i>uvs12</i> | <i>uvs13</i> | <i>uvs14</i> | <i>uvs15</i> | |
|-----------------|--------------|--------------|--------------|--------------|--------------|--------------|---|
| <i>K</i> | 0,5 | 1,15 | 1,15 | 0,4 | 0,52 | 4,21 | 0 |
| <i>4,5</i> | 4,6 | 37,9 | 20,06 | 0 | 5,8 | 11,86 | 0 |
| <i>9</i> | 4,8 | 100,88 | 13,06 | 0,5 | 11,23 | 11,42 | 0 |
| <i>18</i> | 2,5 | 37,3 | 7,5 | 0,5 | 7,95 | 5,35 | 0 |
| <i>27</i> | 0 | 3,04 | 2,33 | 0 | 4,85 | 3,6 | 0 |

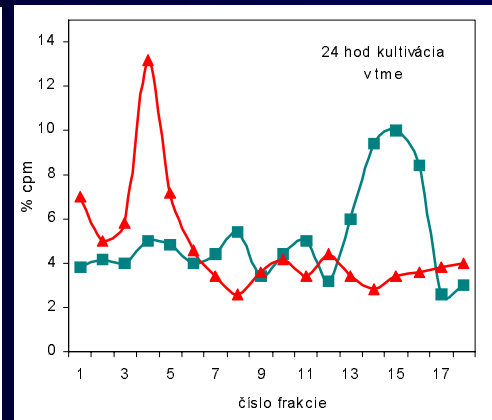
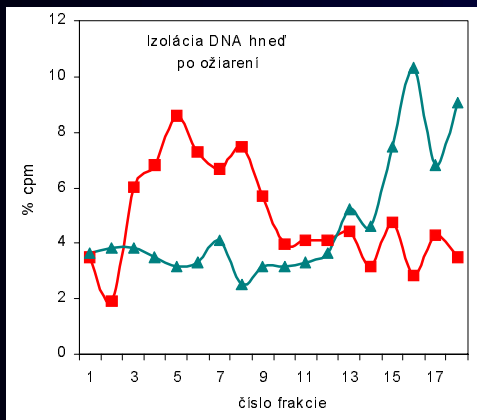
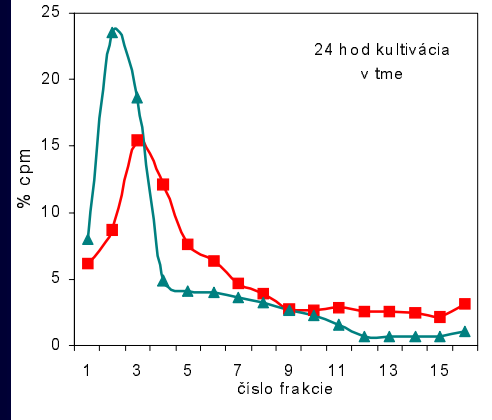
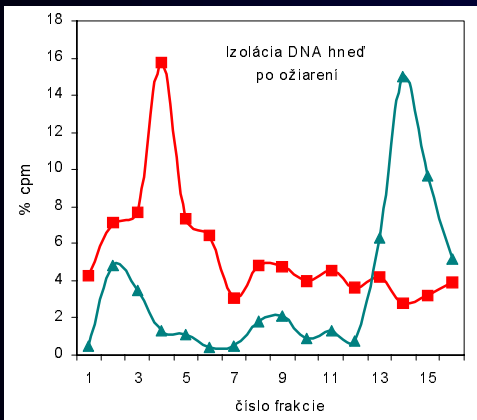
* dávka sa udáva v krad

Analýza reparačne-deficitných mutantov Chlamydomonas reinhardtii



Molekulárna analýza vyštiepovania pyrimidínových dimérov

Analýza reparačne-deficitných mutantov Chlamydomonas reinhardtii



Izolácia DNA hned'
po ožiareni

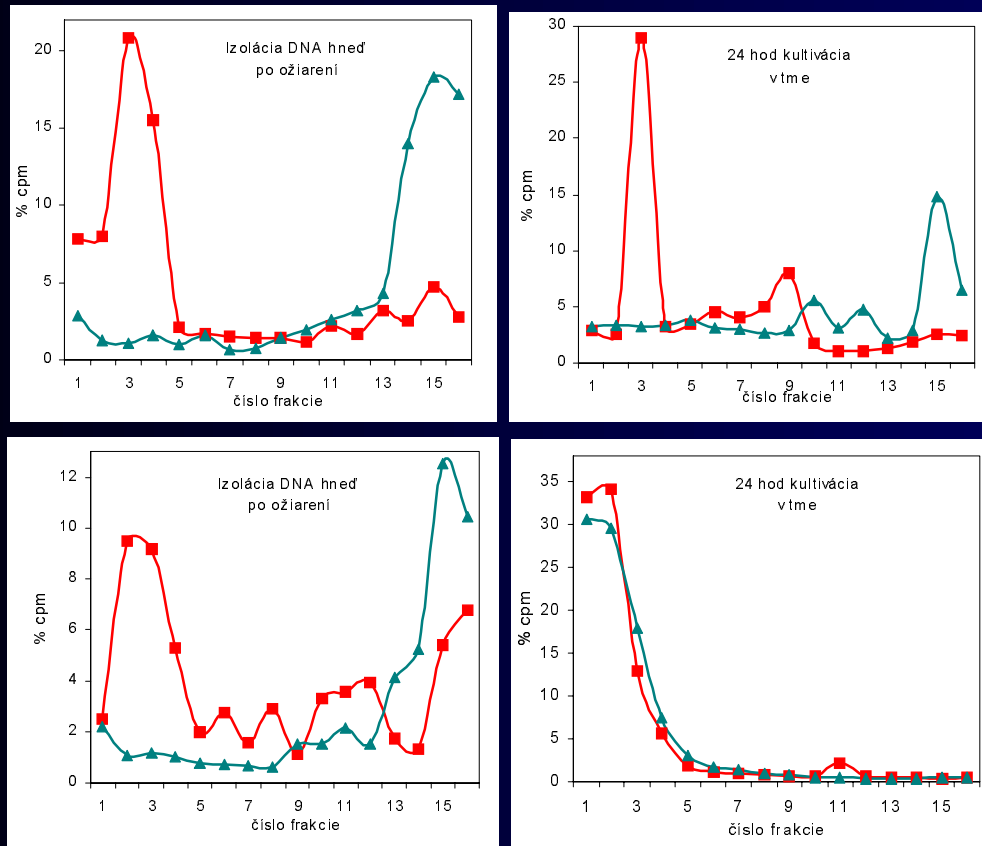
24 hod. kultivácia
v tme

štandardný
kmeň **W1**

excízne-deficitný
kmeň **uvs9**

Legenda:
bez UV endonukleázy
s UV endonuklázou

Analýza reparačne-deficitných mutantov Chlamydomonas reinhardtii



Izolácia DNA hned po ožiareni

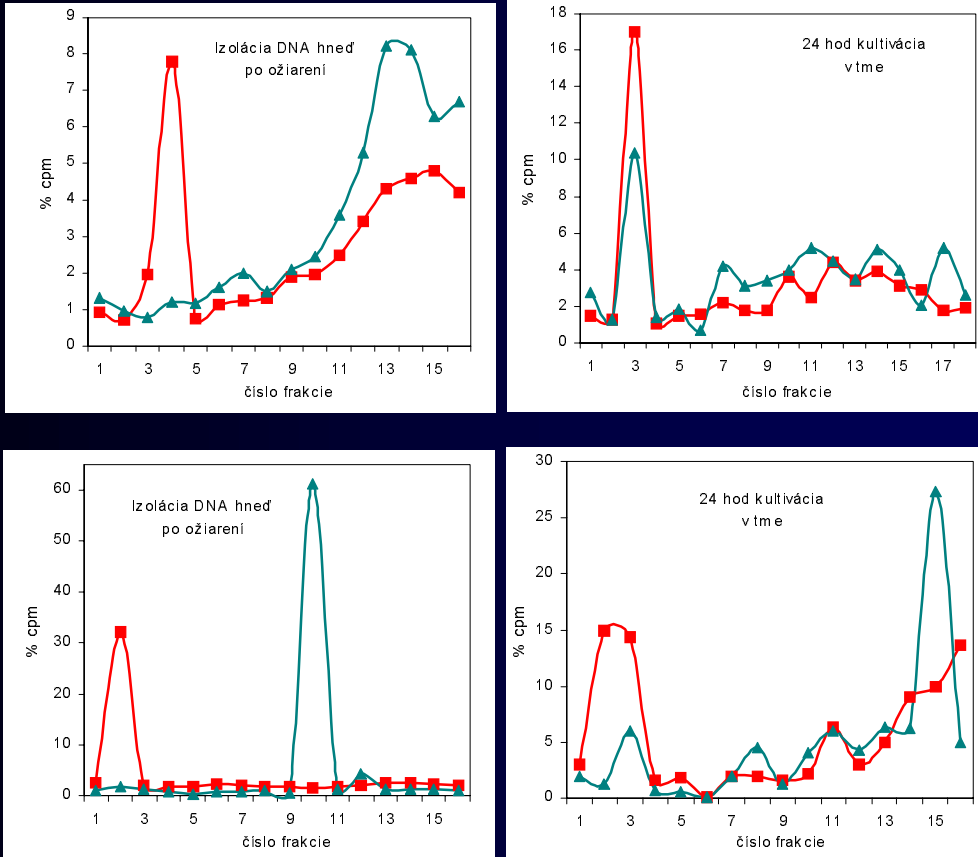
24 hod. kultivácia v tme

kmeň *uvs12*

kmeň *uvs13*

Legenda:
bez UV endonukleázy
s UV endonuklázou

Analýza reparačne-deficitných mutantov Chlamydomonas reinhardtii



Izolácia DNA hned'
po ožiareni

24 hod. kultivácia
v tme

kmeň *uvs14*

kmeň *uvs15*

Legenda:
bez UV endonukleázy
s UV endonuklázou

Analýza reparačne-deficitných mutantov *Chlamydomonas reinhardtii*

Genetická analýza

| Kríženie | Tetrádová analýza | Analýza zygót | Záver |
|------------------------|-------------------|---------------|-------|
| <i>uvs1 x uvs9</i> | + | | + |
| <i>uvs1 x uvs12</i> | + | + | + |
| <i>uvs1 x uvs15</i> | + | + | + |
| <i>uvs1 x uvs351</i> | + | | + |
| <i>uvs1 x uvs371</i> | - | - | - |
| <i>uvs9 x uvs12</i> | + | | + |
| <i>uvs9 x uvs15</i> | + | + | + |
| <i>uvs9 x uvs351</i> | - | - | - |
| <i>uvs12 x uvs15</i> | - | + | + |
| <i>uvs12 x uvs351</i> | + | | + |
| <i>uvs15 x uvs351</i> | + | + | + |
| <i>uvs15 x uvs371</i> | + | + | + |
| <i>uvs351 x uvs371</i> | + | | + |

V tejto skupine mutantov s poruchou excíznej opravy ide o **4 samostatné gény** určujúce citlivosť k UV žiareniu.

Zhrnutie analýzy

- všetky **testované reparačne-deficitné kmene sú citlivejšie na pôsobenie MNNG v porovnaní so štandardným kmeňom**
- **zvýšená citlivosť k MNNG pri mutantovi *uvSE1* s poruchou rekombinačnej reparačnej dráhy naznačila, že rekombinačný reparačný mechanizmus hrá úlohu pri oprave porúch spôsobených týmto alkylačným agensom**
- pri kmeňoch *uvS9* a *uvS15*, s poruchou excíznej opravy, sme zistili **zníženú frekvenciu mutácií vedúcich k streptomycínovej rezistencii** indukovaných MNNG v porovnaní so štandardným kmeňom. Pozorované zníženie mutability týchto kmeňov naznačuje čiastočnú odlišnosť vo vzťahu k presnosti opravy po pôsobení MNNG medzi fotoautotrofnými a heterotrofnými organizmami

- väčšina testovaných reparačne-deficitných mutantov je citlivejšia na pôsobenie X-žiarenia ako štandardný kmeň
- znížené prežívanie a zvýšené frekvencie mutácií po pôsobení X-žiarenia oproti štandardnému kmeňu pri kmeni *uvSE1* naznačuje, že pri riasach *C. reinhardtii* hrá rekombinácia reparačná dráha dôležitú úlohu pri odstraňovaní poškodenia indukovaného X- žiarením a že táto reparačná dráha je presná (error-free)
- kmeň *uvS14* vykazuje znaky mutantov s narušenou „mismatch“ korekciou (zvýšená spontánna mutabilita), najcitlivejší testovaný kmeň *uvS15* vykazuje podobnosť s *rad6* mutantom *S. cerevisiae* s rozhodujúcou úlohou v mutagénnej epistatickej skupine.

- molekulárna analýza potvrdila poruchu vo vyštiepovaní pyrimidínových dimérov pri kmeňoch *uvs15* a *uvs12*,
- pri kmeňoch *uvs13* a *uvs14* nebola potvrdená porucha vo vyštiepovaní pyrimidínových dimérov
- výsledky molekulárnej a mutačnej analýzy naznačili, že pri kmeni *uvs15* by mohlo ísť o mutáciu v géne s pleiotropným účinkom.
- z výsledkov genetickej analýzy vyplýva, že v rámci skupiny analyzovaných mutantov ide pravdepodobne o 4 rôzne gény určujúce citlivosť k UV žiareniu.

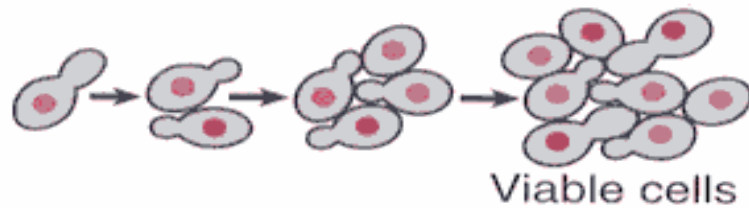
Prepojenie opravy DNA s inými procesmi v bunke

uvr11

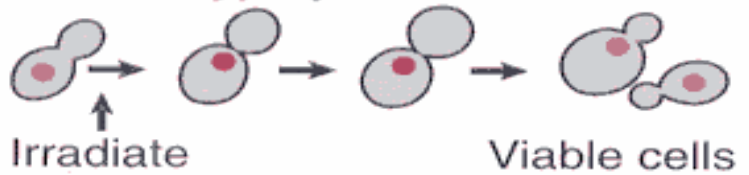
- zvýšená citlivosť k UV a MNNG v porovnaní so štandardným kmeňom, zvýšená mutabilita
- pri mikroskopickom hodnotení prežívania po pôsobení UV-žiarenia vykazoval významné zvýšenie frekvencie buniek odumierajúcich po jednom alebo viacerých deleniach v porovnaní s ostatnými kmeňmi
- podobnosť s *rad9* mutáciou pri *S. cerevisiae*

Prepojenie opravy DNA s inými procesmi v bunkе

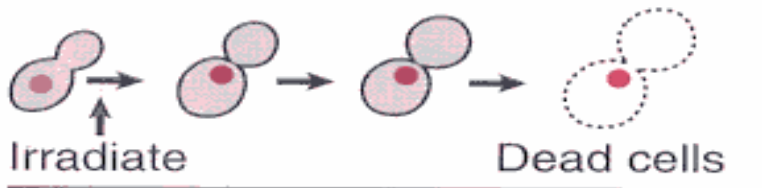
A. Wild-type yeast, no irradiation



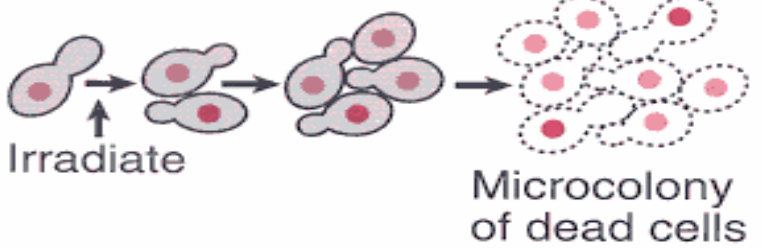
B. Wild-type yeast



C. *rad52* mutant



D. *rad9* mutant



wt

- po ovplyvnení X-žiarením bunky zastavia bunkový cyklus - čas na opravu DNA poškodení

rad9

- po ovplyvnení X-žiarením bunky pokračujú v delení a po niekoľkých deleniach odumierajú
- po zastavení bunkového cyklu pomocou MBC vykazovali prežívanie na úrovni štandardného kmeňa
- esenciálny pre zastavenie bunkového cyklu v G2 fáze

Ciele práce

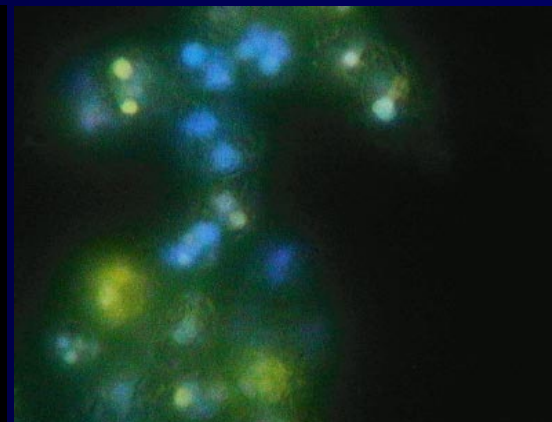
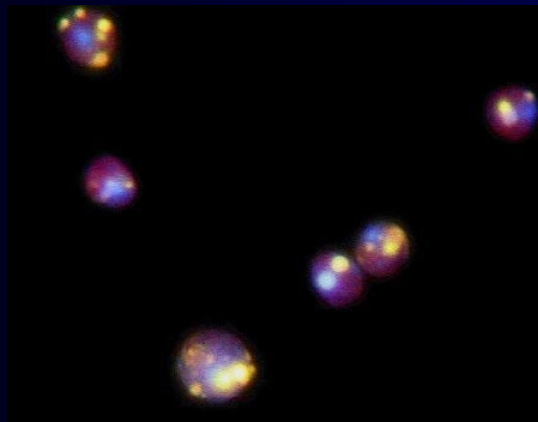
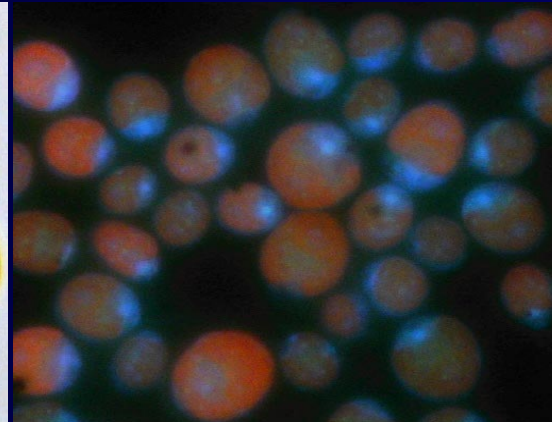
- Zistit' pravdepodobnú úlohu **UVS11** génu v regulácii a jeho vplyv na opravné procesy v bunke.
- Sledovať možnú analógiu funkcie **RAD9** génu pri kvasinkách *S. cerevisiae* a **UVS11** génu pri riasach *C. reinhardtii*.

Prepojenie opravy DNA s inými procesmi v bunkе

bunkы štandardného kmeňa na konci bunkového cyklu pred uvoľnením z materskej bunkovej steny



bunkы zafarbené fluorochrómom DAPI

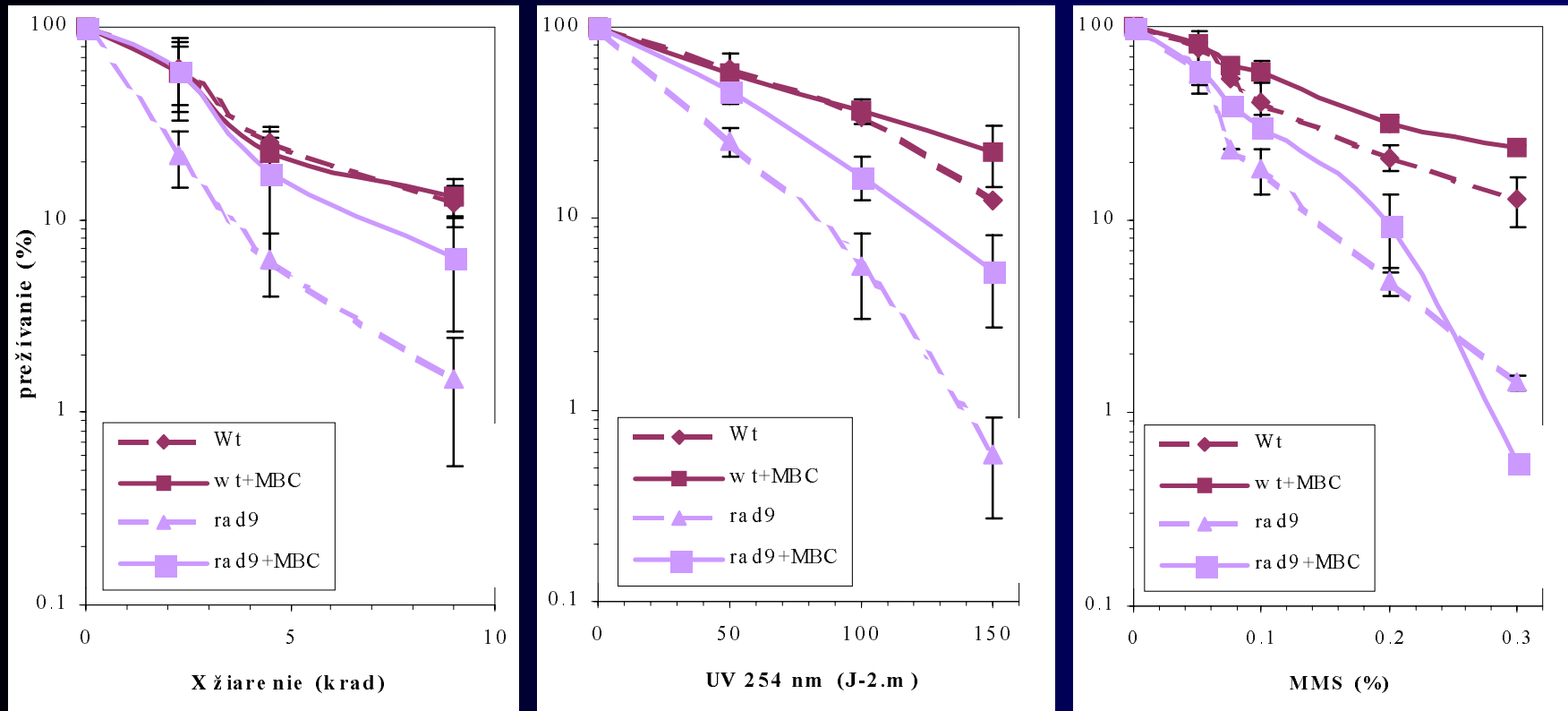


bunkы ovplyvnené MBC v skorej rastovej fáze

bunkы s rôznym počtom jadier,
pridanie MBC v neskorej rastovej fáze

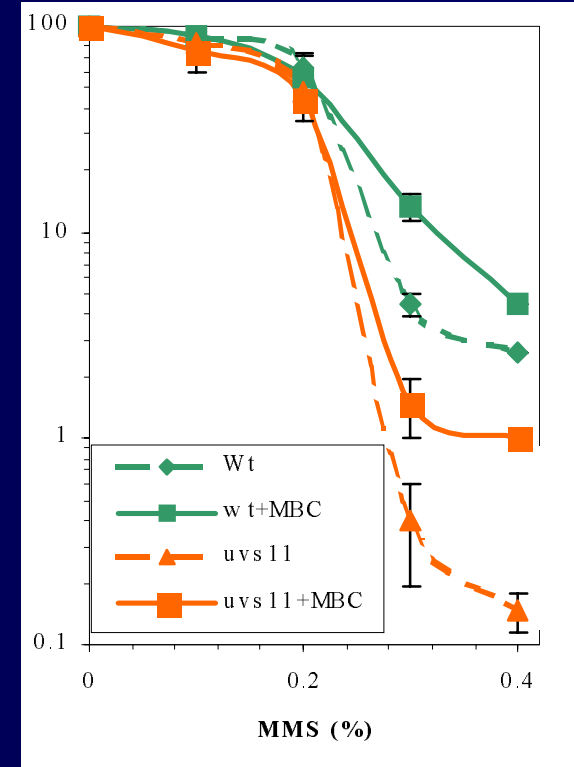
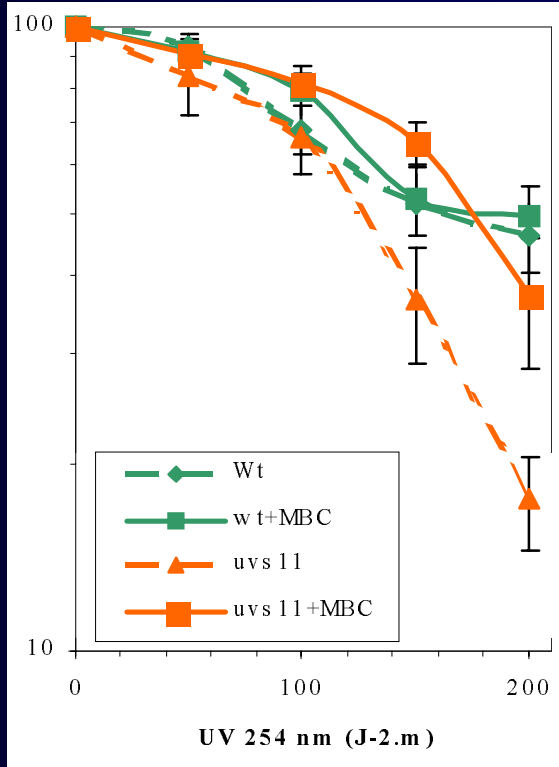
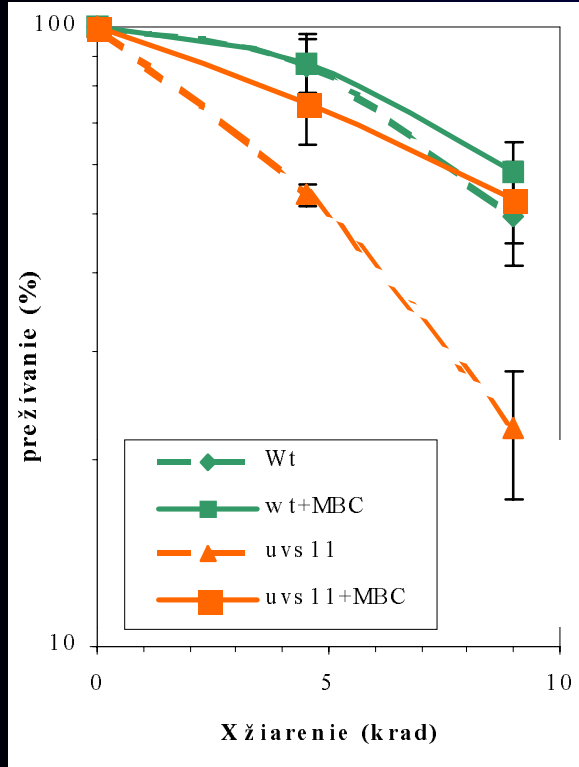
Vplyv MBC na zastavenie bunkového cyklu riasy *C. reinhardtii*

Prepojenie opravy DNA s inými procesmi v bunke



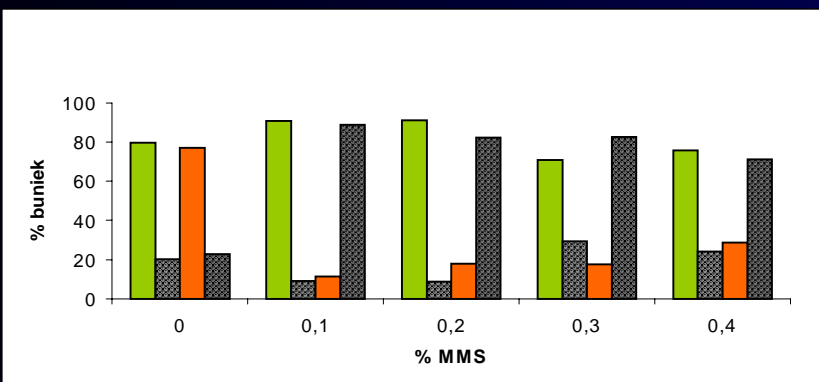
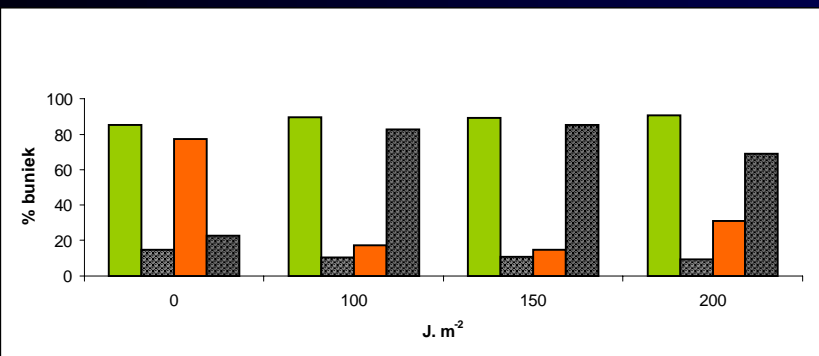
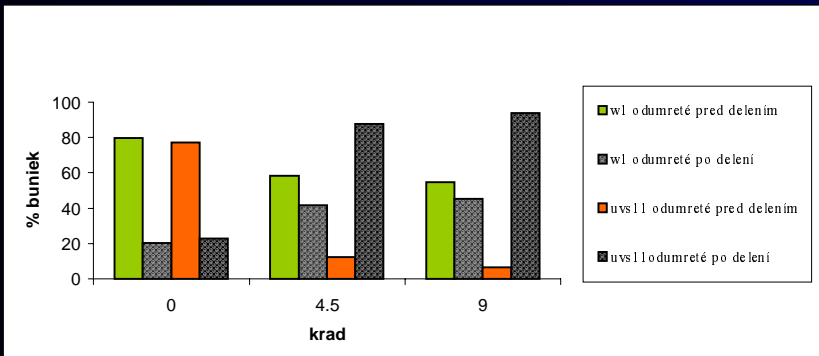
Prežívanie štandardného a *rad9* kmeňa *S.cerevisiae* po pôsobení UV-, X-žiarenia a MMS s a bez MBC

Prepojenie opravy DNA s inými procesmi v bunke



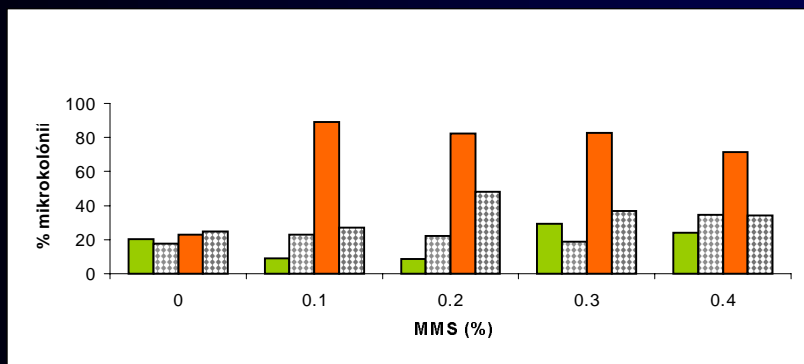
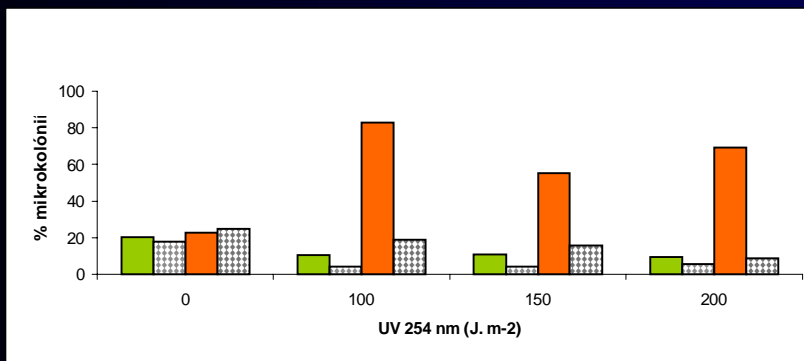
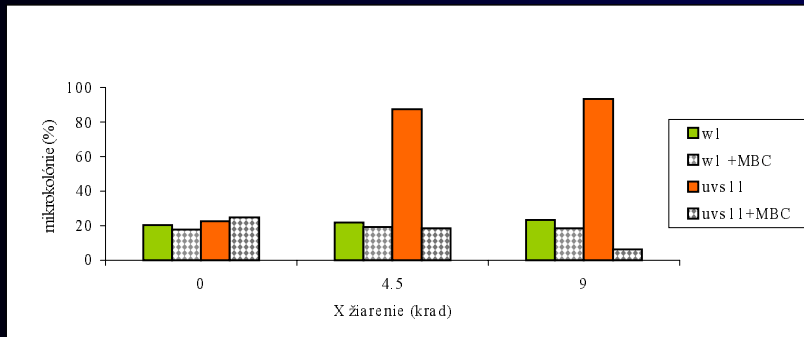
Prežívanie štandardného a *uvs11* mutanta *C.reinhardtii* po pôsobení UV-, X-žiarenia a MMS s a bez MBC

Prepojenie opravy DNA s inými procesmi v bunke



Pomer počtu buniek odumretých pred delením k počtu buniek, ktoré sa pred odumretím aspoň jedenkrát rozdelia po pôsobení UV-, X-žiarenia a MMS

Prepojenie opravy DNA s inými procesmi v bunke



Vplyv MBC na počet mikrokolónií štandardného kmeňa a *uvs11* mutanta po pôsobení UV-, X-žiarenia a MMS

Závery

- dokázali sme zvýšenú citlivosť *uvs11* mutanta *C. reinhardtii* a potvrdili sme zvýšenú citlivosť *rad9* mutanta *S.cerevisiae* na pôsobenie UV-, X- žiarenia a MMS
- dokázali sme, že zastavenie bunkového cyklu pomocou MBC vedie k zvýšeniu prežívania pri *rad9* mutantovi kvasiniek *S. cerevisiae*, rovnako ako pri *uvs11* mutantovi rias *C. reinhardtii* po pôsobení UV, X-žiarenia a MMS
- dokázali sme, že zastavenie bunkového cyklu *C.reinhardtii* pomocou MBC vedie, analogicky s kvasinkami, k zníženiu počtu mikrokolónii.

Transformácia jadrového genómu *C. reinhardtii*

- podmienka pre napredovanie štúdia v oblasti
reparačných mechanizmov *C. reinhardtii*

3 metódy na zavedenie DNA do jadra *C. reinhardtii*:

1. Bombardovanie

2. Elektroporácia

**3. Pretrepávanie v prítomnosti polyetylénglykolu a
sklených guličiek**

Transformácia jadrového genómu *C. reinhardtii*

Plazmid: pArg7.8

Transformované kmene: cw15arg7.8
arg7.8

Odstránenie bunkovej steny: pomocou
gametického lytického enzymu autolyzínu

Transformácia jadrového genómu

C. reinhardtii

Sledovali sme vplyv nasledovných parametrov na úspešnosť transformácie:

- čistota plazmidovej DNA
- molekulová hmotnosť polyetylénglyku
- typ sklených guličiek
- genotyp recipientného kmeňa
- čas ovplyvnenia.

Transformácia jadrového genómu kmeňa cw15arg7.8

| <i>pDNA</i> | sklenené guličky | PEG6000 Účinnosť transformácie (x 10 ⁻⁶) | PEG8000 Účinnosť transformácie (x 10 ⁻⁶) |
|-------------|---------------------|---|---|
| I | 1. | 0,35 | 6,8 |
| | 2. | 1,7 | 0,73 |
| II | 1. | 1,7 | 15,9 |
| | 2. | 1,05 | 2,9 |
| III | 1. | - | 0,6 |

Transformácia jadrového genómu kmeňa *arg7.8*

*sklenené
guličky pDNA*

PEG8000
Účinnosť
transformácie

| | | |
|----|-----|------|
| 1. | I | 1,16 |
| | II | 0,23 |
| | III | 0,12 |

Závery

- Uskutočnili sme transformáciu jadrového genómu dvojitého mutanta *arg7cw15* *C. reinhardtii* plazmidom **pARG7.8** nesúcim funkčný gén pre arginínsukcinátlyázu metódou využívajúcou sklené guličky a PEG. Dosiahli sme účinnosť transformácie v rozmedzí $0,35 \times 10^{-6}$ až $15,9 \times 10^{-6}$ /bunku.
- Pri kmeni *cc51* *C. reinhardtii* sme dosiahli účinnosť transformácie v rozmedzí $0,12 \times 10^{-6}$ až $1,16 \times 10^{-6}$ /bunku.
- Zistili sme, že na účinnosť transformácie vplýva viacero parametrov: čistota plazmidovej DNA, koncentrácia a molekulová hmotnosť polyetylénglykolu, genotyp recipientného kmeňa, čas ovplyvnenia.